

Politechnika Krakowska
Wydział Inżynierii Lądowej
Instytut Mechaniki Budowli
Katedra Wytrzymałości Materiałów

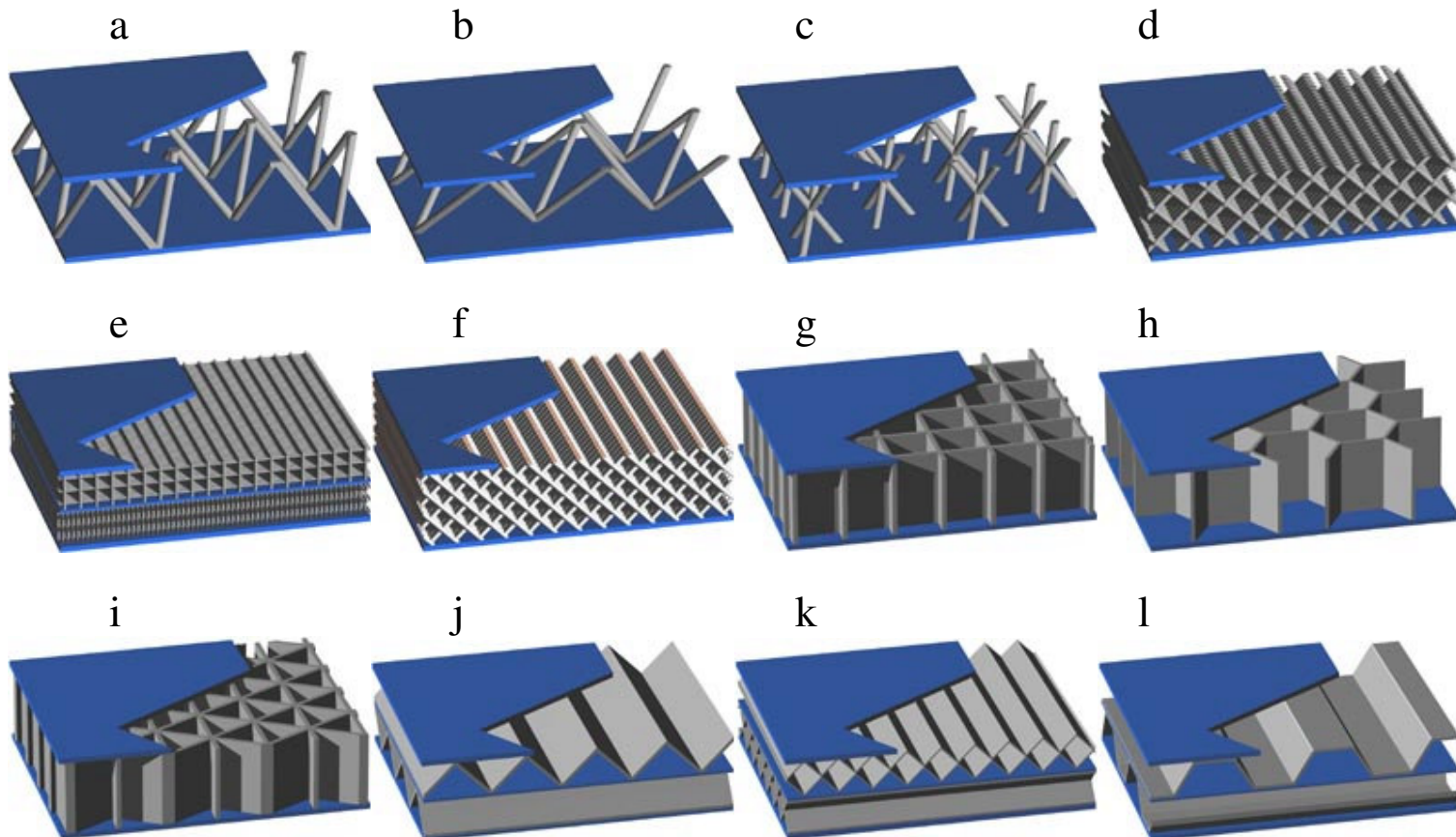
PORÓWNANIE ENERGETYCZNYCH KRYTERIÓW WYTĘŻENIA DLA SPRZĘŻONYCH I ROZŁĄCZNYCH STANÓW WŁASNYCH NA PRZYKŁADZIE WYBRANYCH MATERIAŁÓW ANIZOTROPOWYCH

Piotr Kordzikowski
Ryszard B. Pęcherski

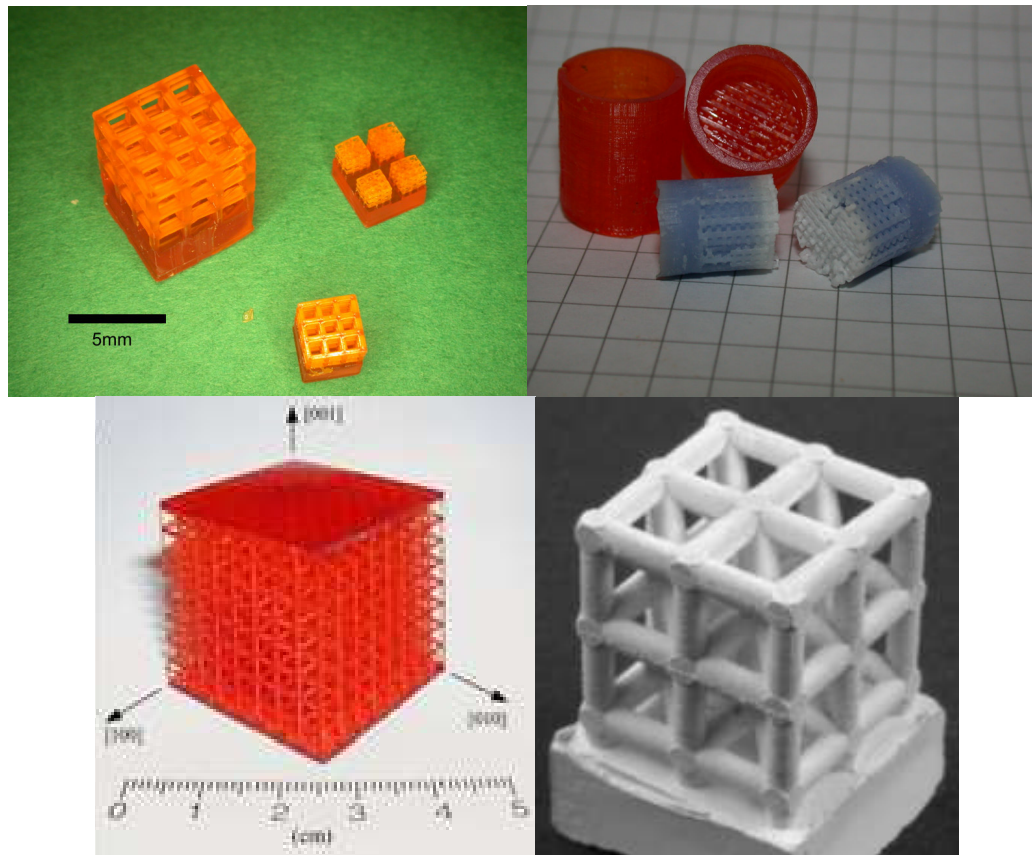
Bezmiechowa k/Leska – 2005

MATERIAŁY ANIZOTROPOWE

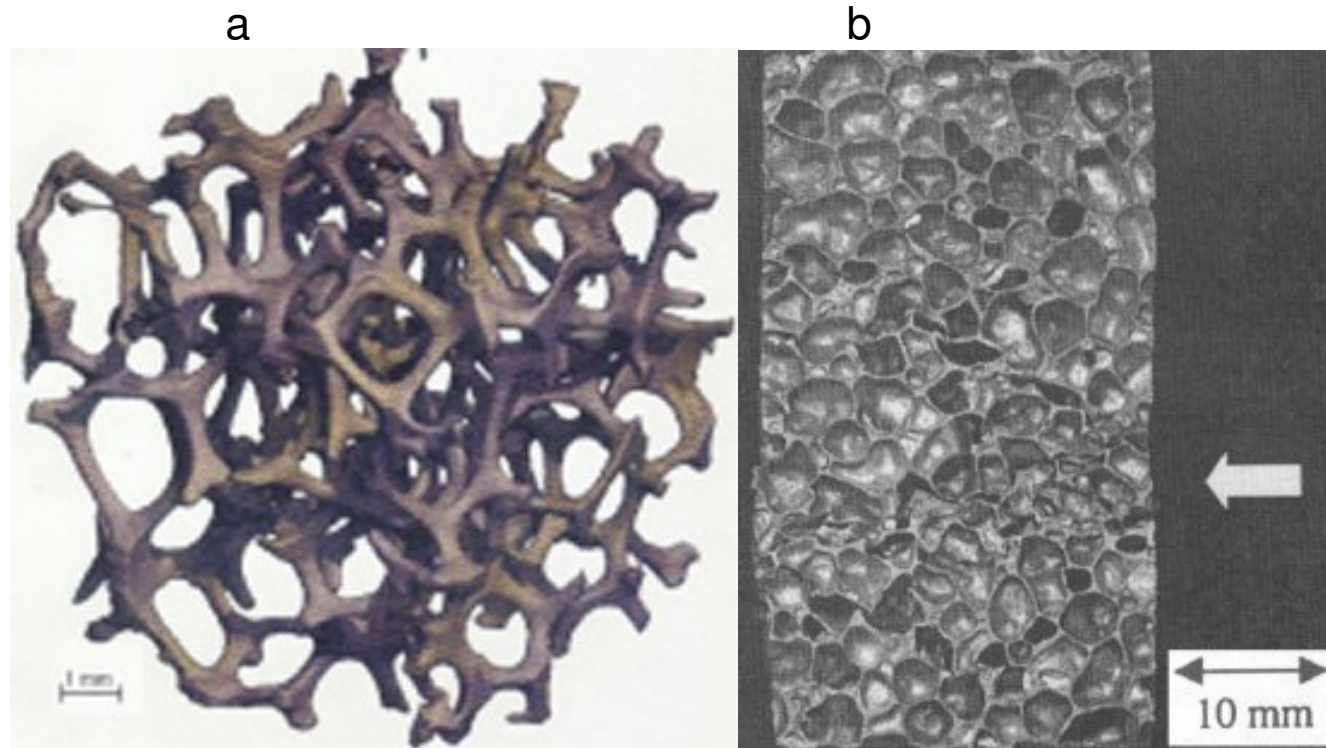
Przykłady płyt typu *sandwich*



Regularne struktury komórkowe



Pianki metaliczne



- a) pianka aluminiowa – komórka otwarta,
- b) pianka aluminiowa – komórka zamknięta

CEL PRACY

Porównanie energetycznych kryteriów wyęczenia dla sprzężonych i rozłącznych stanów własnych stosując:

- teorię sprzężystych stanów własnych (J. Rychlewski 1984)
- kryterium energetyczne

prawo Hooke'a

$$\boldsymbol{\sigma} = \mathbf{S} \cdot \boldsymbol{\varepsilon}, \quad \boldsymbol{\varepsilon} = \mathbf{C} \cdot \boldsymbol{\sigma}$$

zagadnienie własne

$$\mathbf{S} \cdot \boldsymbol{\omega}_i = \lambda_i \boldsymbol{\omega}_i, \quad \mathbf{C} \cdot \boldsymbol{\omega}_i = \frac{1}{\lambda_i} \boldsymbol{\omega}_i$$

gęstość energii sprzężystej

$$2\Phi(\boldsymbol{\sigma}_i) = \boldsymbol{\sigma}_i \cdot \mathbf{C} \cdot \boldsymbol{\sigma}_i = C_{klmn} \sigma_{kl}^{(i)} \sigma_{mn}^{(i)} = \frac{1}{\lambda^{(i)}} (\boldsymbol{\sigma}^{(i)})^2, \quad i = 1, \dots, p \quad p \leq 6$$

gdzie: $(\boldsymbol{\sigma}^{(i)})^2$ - kwadrat rzutu tensora naprężenia na i -ty wektor własny tensora \mathbf{S}

$\lambda^{(i)}$ - i -ta wartość własna tensora \mathbf{S} , nazywana modułem Kelvina

energetyczne kryterium wyężenia sformułowane przez J. Rychlewskiego (1984)
(kryterium dla sprzężonych stanów własnych)

$$\frac{\Phi(\sigma_1)}{\Phi_1^{gr}} + \dots + \frac{\Phi(\sigma_p)}{\Phi_p^{gr}} \leq 1, \quad p \leq 6$$

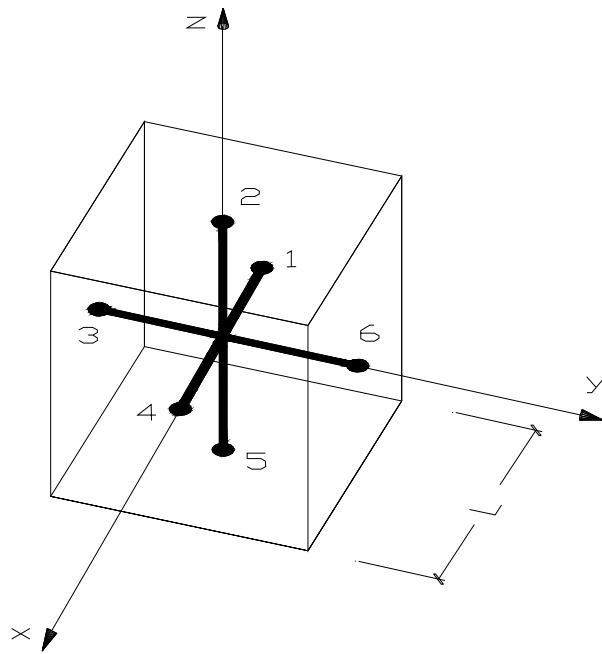
$\sigma = \sigma_1 + \sigma_2 + \dots + \sigma_p$ - rozkład tensora naprężenia na p stanów własnych

Φ_p^{gr} - graniczna wartość gęstości energii sprężystej w stanie własnym p

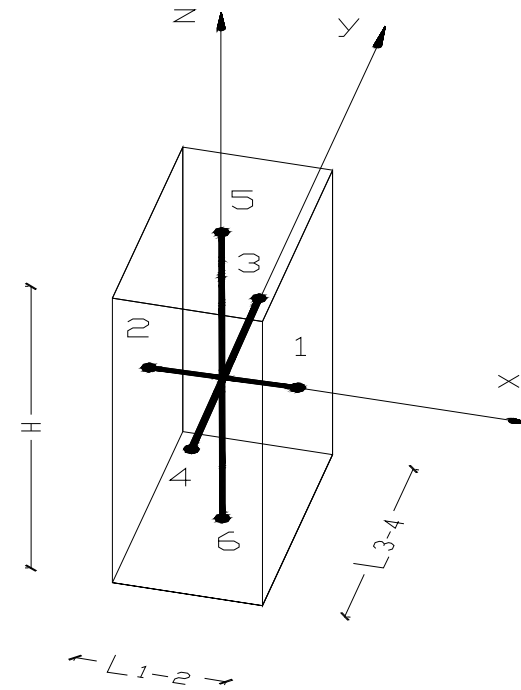
kryterium dla rozłącznych stanów własnych (S. C. Cowin et al., 1995)

$$\begin{aligned} \Phi(\sigma_1) &\leq \Phi_1^{gr} \\ &\vdots \\ \Phi(\sigma_p) &\leq \Phi_p^{gr} \end{aligned} \quad p \leq 6$$

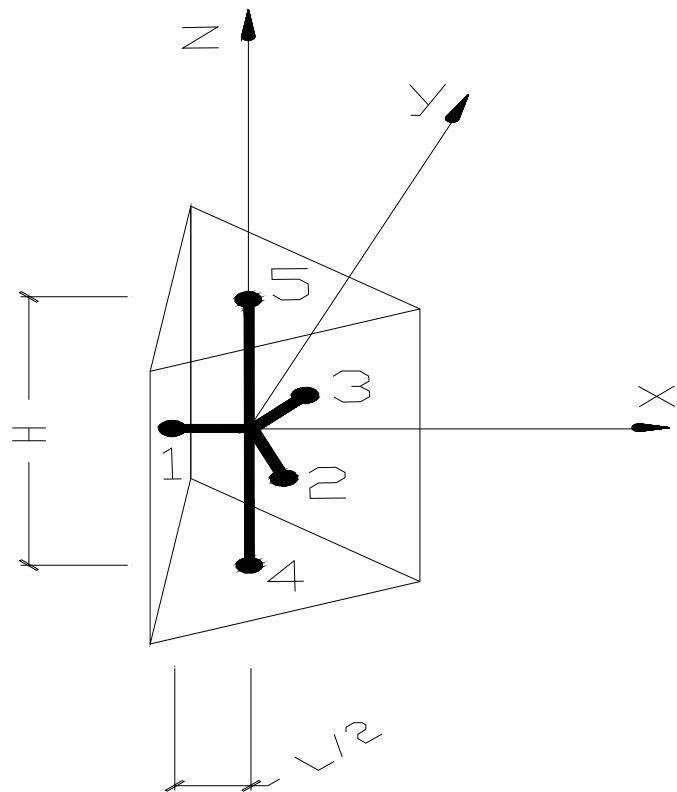
PRZEDMIOT BADAŃ



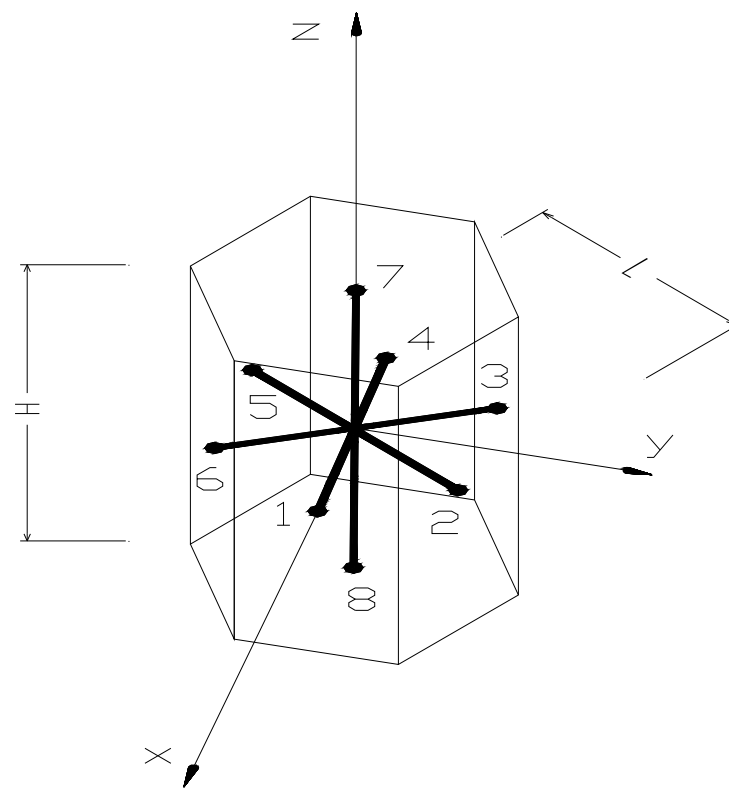
Komórka sześcienna



Komórka prostokątna



Komórka w postaci pryzmy
o podstawie trójkąta
równobocznego



Komórka w postaci pryzmy
o podstawie sześciokąta
foremnego

SPRĘŻYSTE STANY WŁASNE I GĘSTOŚCI ENERGII GRANICZNYCH

KOMÓRKA SZEŚCIENNA – SYMETRIA KUBICZNA

OZNACZENIA

L - wymiar elementów belkowych (szkieletu)

s_n - sztywność elementów belkowych na rozciąganie

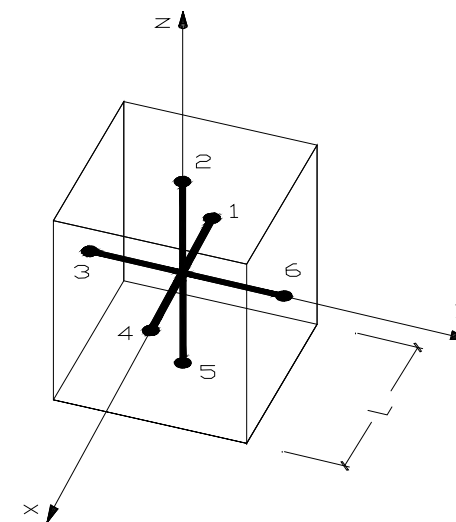
s_τ - sztywność elementów belkowych na zginanie

MODUŁY KELVINA MACIERZY **S**

$$\lambda_I = \lambda_1 = \frac{s_n}{2L}$$

$$\lambda_{II} = \lambda_2 = \lambda_3 = \frac{s_n}{2L}$$

$$\lambda_{III} = \lambda_4 = \lambda_5 = \lambda_6 = \frac{2s_\tau}{4L}$$



GRANICZNE SIŁY SPRĘŻYSTE DLA ELEMENTÓW BELKOWYCH

ściskanie (rozciąganie): $F^{gr} = A R_e$

ścinięcie (zginanie): $F^{gr} = \frac{R_e I}{L h}$

DEFINICJA NAPRĘŻENIA
dla ekwiwalentnego kontinuum

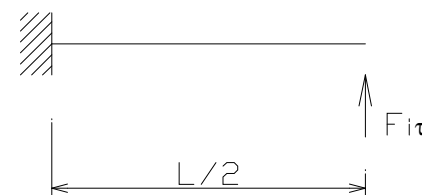
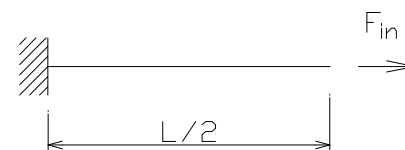
$$\sigma = \frac{1}{V} \int_{V^s} \sigma^s dV$$

gdzie:

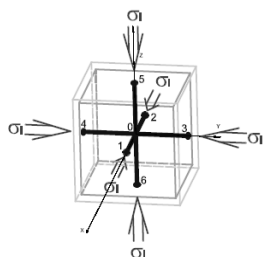
V – objętość reprezentatywnej komórki

V^s – objętość szkieletu

σ^s – naprężenie w szkielecie

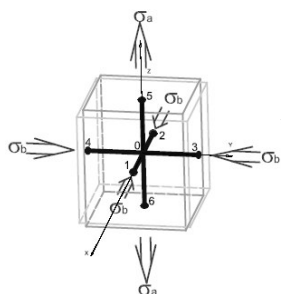


GĘSTOŚCI ENERGII GRANICZNYCH DLA STANÓW WŁASNYCH



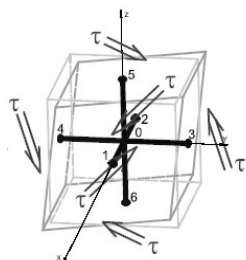
$$\sigma_I = \sigma_1 = \begin{bmatrix} \frac{-A R_e}{L^2} & 0 & 0 \\ 0 & \frac{-A R_e}{L^2} & 0 \\ 0 & 0 & \frac{-A R_e}{L^2} \end{bmatrix}$$

$$2 \Phi_I^{gr} = \frac{1}{\lambda_I} 3 \left(\frac{A R_e}{L^2} \right)^2$$



$$\sigma_{II} = \sigma_{2,3} = \begin{bmatrix} \frac{2}{3} \frac{A R_e}{L^2} & 0 & 0 \\ 0 & \frac{-1}{3} \frac{A R_e}{L^2} & 0 \\ 0 & 0 & \frac{-1}{3} \frac{A R_e}{L^2} \end{bmatrix}$$

$$2 \Phi_{II}^{gr} = \frac{1}{\lambda_{II}} \frac{2}{3} \left(\frac{A R_e}{L^2} \right)^2$$

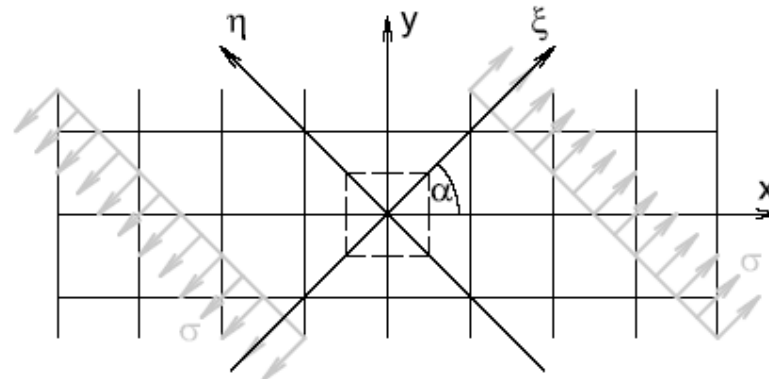


$$\sigma_{III} = \sigma_{4,5,6} = \begin{bmatrix} 0 & \frac{\sqrt{2} I R_e}{h L^3} & \frac{\sqrt{2} I R_e}{h L^3} \\ \frac{\sqrt{2} I R_e}{h L^3} & 0 & \frac{\sqrt{2} I R_e}{h L^3} \\ \frac{\sqrt{2} I R_e}{h L^3} & \frac{\sqrt{2} I R_e}{h L^3} & 0 \end{bmatrix}$$

$$2 \Phi_{III}^{gr} = \frac{1}{\lambda_{III}} 6 \frac{I^2 R_e^2}{h^2 L^6}$$

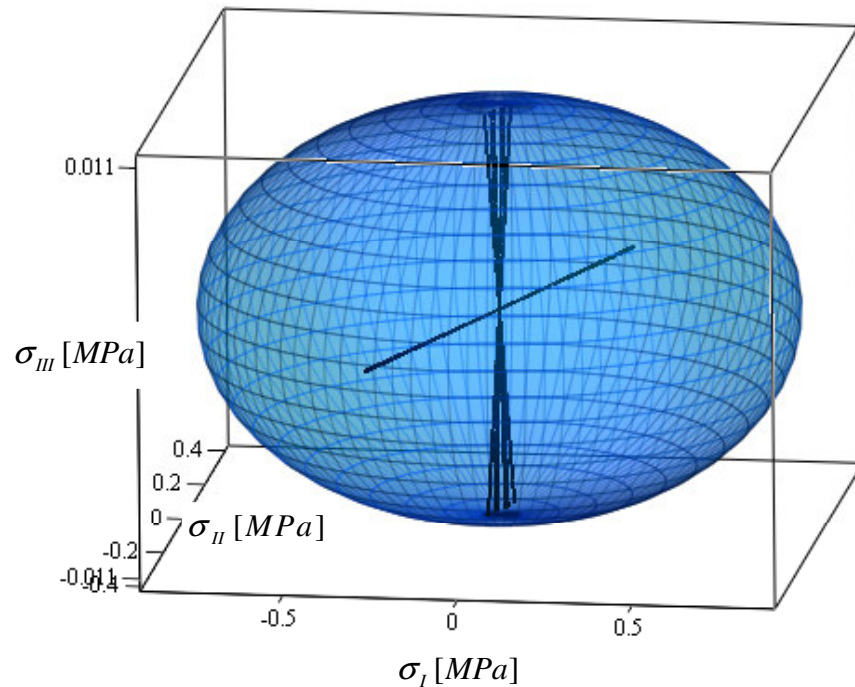
R_e - granica plastyczności, h - maksymalna odległość włókien górnych lub dolnych elementu belkowego, A - pole przekroju elementu belkowego, I - moment bezwładności elementu belkowego

**POWIERZCHNIE GRANICZNE WEDŁUG ENERGETYCZNEGO KRYTERIUM
J. RYCHLEWSKIEGO DLA SPRĘŻYSTYCH STANÓW WŁASNYCH PRZY
JEDNOOSIOWYM ROZCIĄGANIU WZDŁUŻ KIERUNKU „n”**

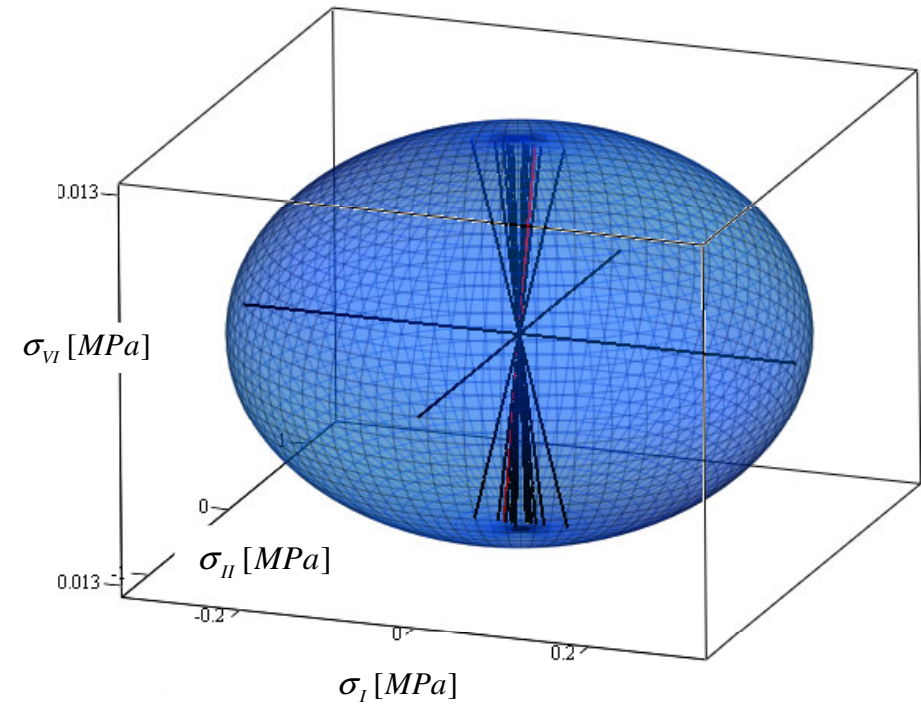


$$\sigma(\xi, \eta) = \begin{bmatrix} \sigma & 0 \\ 0 & 0 \end{bmatrix} \rightarrow \sigma(x, y) = \sigma \begin{bmatrix} \cos^2(\alpha) & \cos(\alpha)\sin(\alpha) \\ \cos(\alpha)\sin(\alpha) & \sin^2(\alpha) \end{bmatrix}$$

stop Cu-1%Ni, $E_s = 117 \text{ GPa}$, $G_s = 45 \text{ GPa}$, $R_e = 112 \text{ MPa}$ (D. L. McDowell et al., 2005)

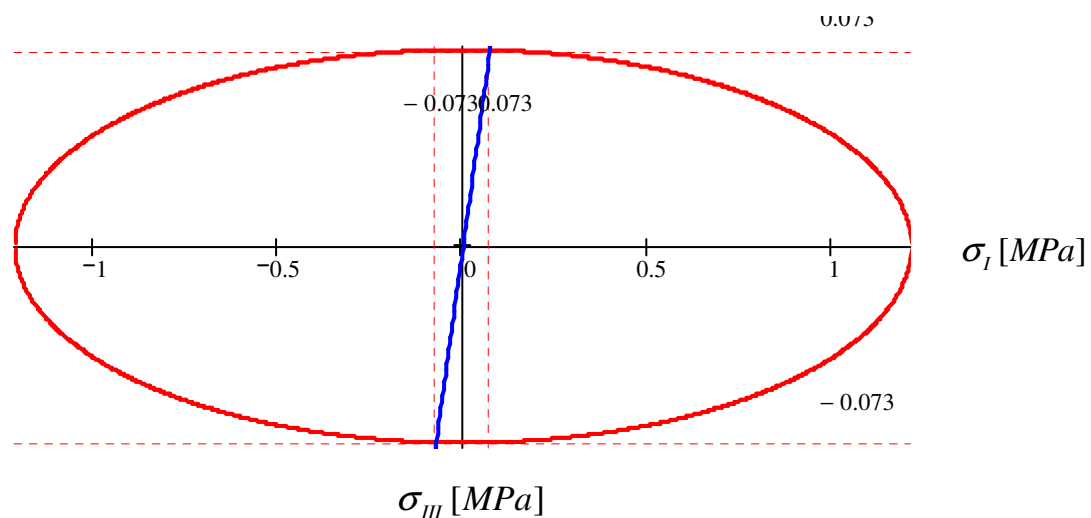


Komórka sześcienna
 $L = 2000 \mu m$, $d = 150 \mu m$

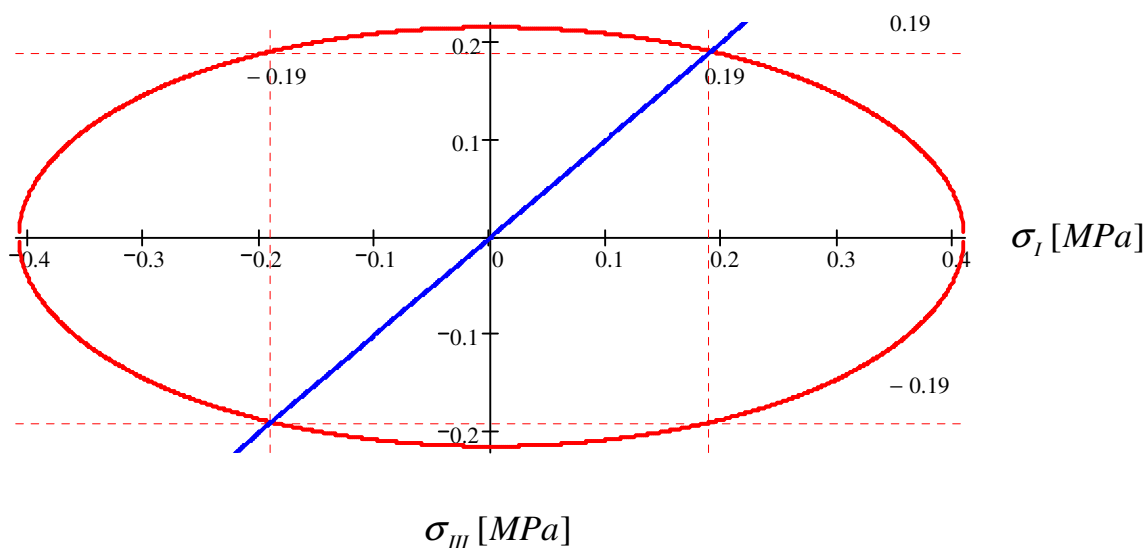


Komórka prostokątna
 $L_{1-2} = 1000 \mu m$, $L_{3-4} = 4000 \mu m$, $H = 1000 \mu m$,
 $d = 120 \mu m$

stop Cu-1%Ni, $E_s = 117 GPa$, $G_s = 45 GPa$, $R_e = 112 MPa$



Komórka w postaci pryzmy o podstawie trójkąta równobocznego
 $L = 2000 \mu m$, $H = 2000 \mu m$
 $d = 260 \mu m$
 stop Cu-1%Ni,
 $E_s = 117 GPa$, $G_s = 45 GPa$,
 $R_e = 112 MPa$



Komórka w postaci pryzmy o podstawie sześciokąta foremego
 $L = 2000 \mu m$, $H = 2000 \mu m$
 $d = 87 \mu m$
 stop Cu-1%Ni,
 $E_s = 117 GPa$, $G_s = 45 GPa$,
 $R_e = 112 MPa$

POWIERZCHNIA GRANICZNA DLA SZEŚCIU ROZŁĄCZNYCH STANÓW WŁASNYCH MATERIAŁU ANIZOTROPOWEGO NA PRZYKŁADZIE TEKSTURY

Wykorzystanie obliczonych gęstości granicznych energii sprężystych do energetycznego kryterium dla poszczególnych stanów własnych.

Omówienie realizacji na przykładzie : Y. A. Arramon et al., 2000

$$2\lambda_A \Phi_T^{(A)} = (\sigma_T^{(A)})^2$$

gęstości granicznych energii $2\lambda_A \Phi_C^{(A)} = (\sigma_C^{(A)})^2$

postulowane kryterium:

- w przestrzeni stanów własnych

$$(\sigma^{(A)} - \sigma_T^{(A)})(\sigma^{(A)} - \sigma_C^{(A)}) = 0$$

gdzie:

$$\sigma_T^{(A)} = \sigma_{\max}^{(A)}, \quad \sigma_C^{(A)} = \sigma_{\min}^{(A)},$$

$A = 1, \dots, K$ kolejny stan własny

- w przestrzeni naprężeń głównych

$$(\sigma^{(P)} - \sigma_T^{(P)})(\sigma^{(P)} - \sigma_C^{(P)}) = 0$$

gdzie:

$$\sigma_T^{(P)} = \sigma_{\max}^{(P)}, \quad \sigma_C^{(P)} = \sigma_{\min}^{(P)},$$

$$\sigma^{(I)} = T_1, \quad \sigma^{(II)} = T_2, \quad \sigma^{(III)} = T_3$$

Wykorzystując dane doświadczalne dla materiału anizotropowego

$$E_1 = 3510 \text{ MPa}, \quad E_2 = 3510 \text{ MPa}, \quad E_3 = 6930 \text{ MPa}, \quad \nu_{13} = 0.15,$$

$$\nu_{23} = 0.15, \quad \nu_{12} = 0.3, \quad G_{23} = 1700 \text{ MPa}, \quad G_{13} = 1700 \text{ MPa}, \quad G_{12} = 1500 \text{ MPa}$$

Tensor sztywności

$$S = \begin{bmatrix} 4220 & 1520 & 1700 & 0 & 0 & 0 \\ 1520 & 4220 & 1700 & 0 & 0 & 0 \\ 1700 & 1700 & 7940 & 0 & 0 & 0 \\ 0 & 0 & 0 & 1700 & 0 & 0 \\ 0 & 0 & 0 & 0 & 1700 & 0 \\ 0 & 0 & 0 & 0 & 0 & 1500 \end{bmatrix} \text{ MPa}$$

Wartości własne

$$\lambda = \begin{bmatrix} 9480 \\ 4200 \\ 2700 \\ 1700 \\ 1700 \\ 1500 \end{bmatrix} \text{ MPa}$$

Wektory własne

$$\omega_1 = \begin{bmatrix} 0.382 \\ 0.382 \\ 0.841 \\ 0 \\ 0 \\ 0 \end{bmatrix}, \quad \omega_2 = \begin{bmatrix} -0.594 \\ -0.594 \\ 0.54 \\ 0 \\ 0 \\ 0 \end{bmatrix}, \quad \omega_3 = \begin{bmatrix} 0.707 \\ -0.707 \\ 0 \\ 0 \\ 0 \\ 0 \end{bmatrix}, \quad \omega_4, \omega_5, \omega_6 \text{ pominięto}$$

Powierzchnie graniczne dla rozłącznych stanów własnych opisują zależności;

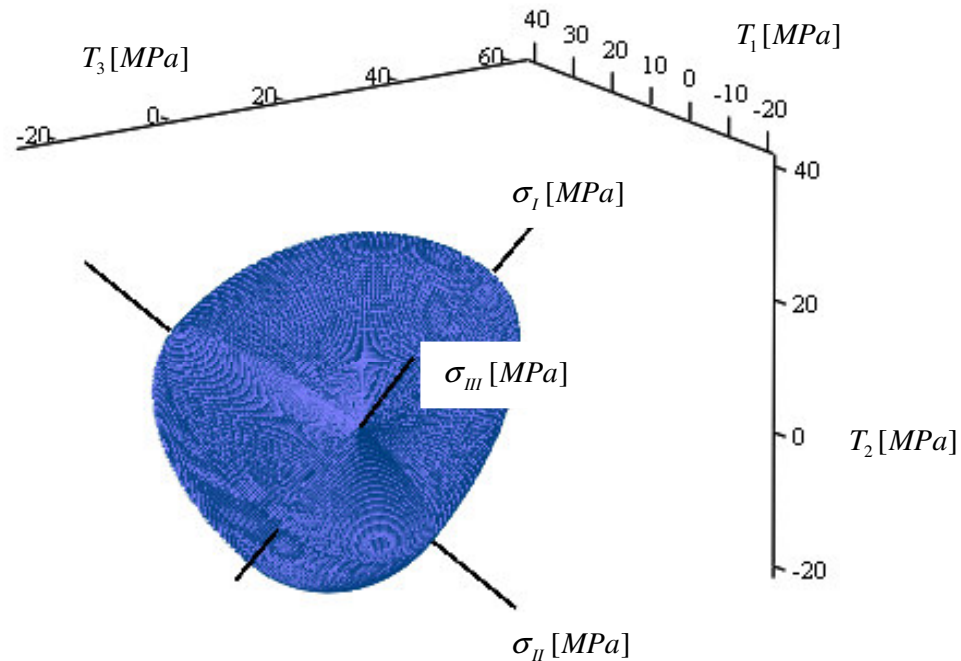
$$(0.382T_1 + 0.382T_2 + 0.841T_3 - 47.1)(0.382T_1 + 0.382T_2 + 0.841T_3 + 16.8) = 0$$

$$(0.595T_1 + 0.595T_2 - 0.54T_3 - 18.1)(0.595T_1 + 0.595T_2 - 0.54T_3 + 30.3) = 0$$

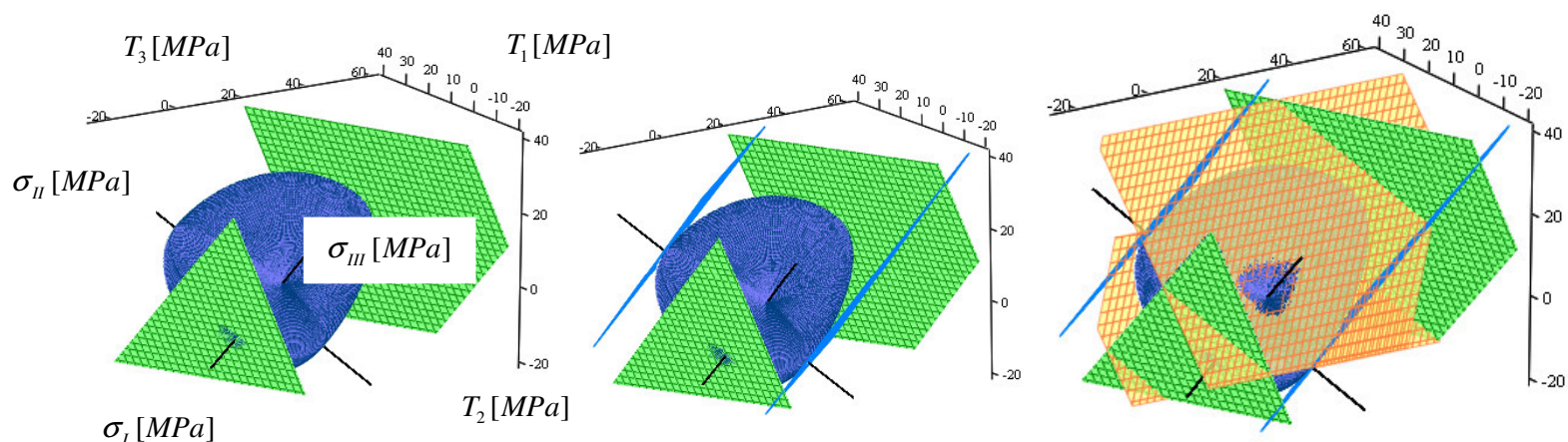
$$(0.707T_1 - 0.707T_2 - 21.6)(0.707T_1 - 0.707T_2 + 9.19) = 0$$

Powierzchnie graniczne na podstawie kryteriów:

- Granicznych energii dla sprzężonych stanów własnych

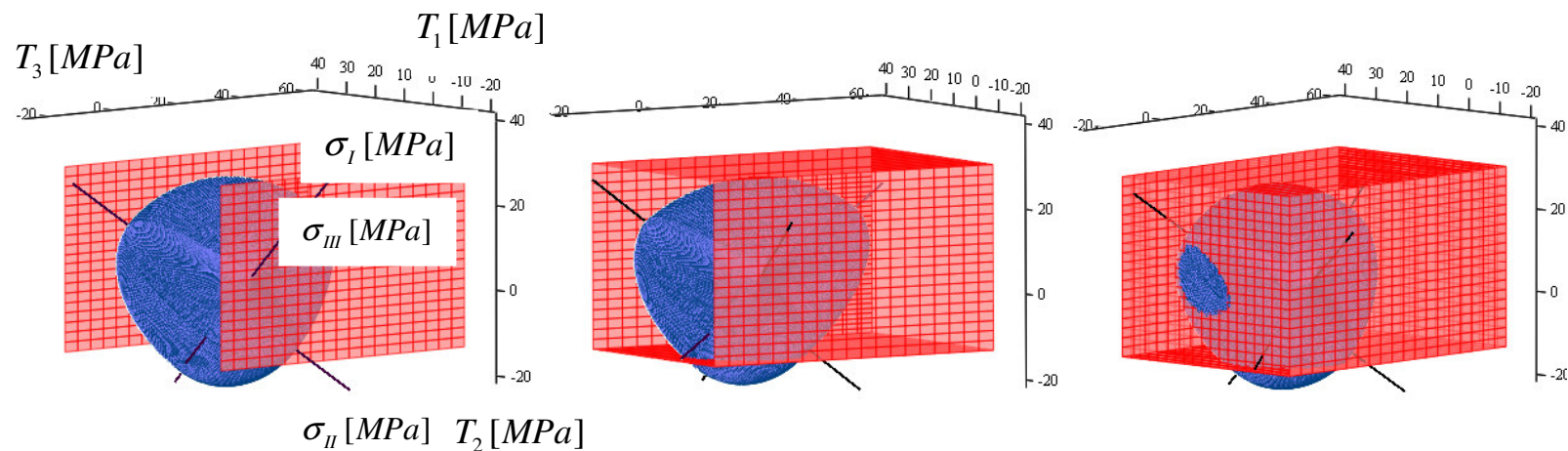


- Granicznych energii dla rozłącznych stanów własnych

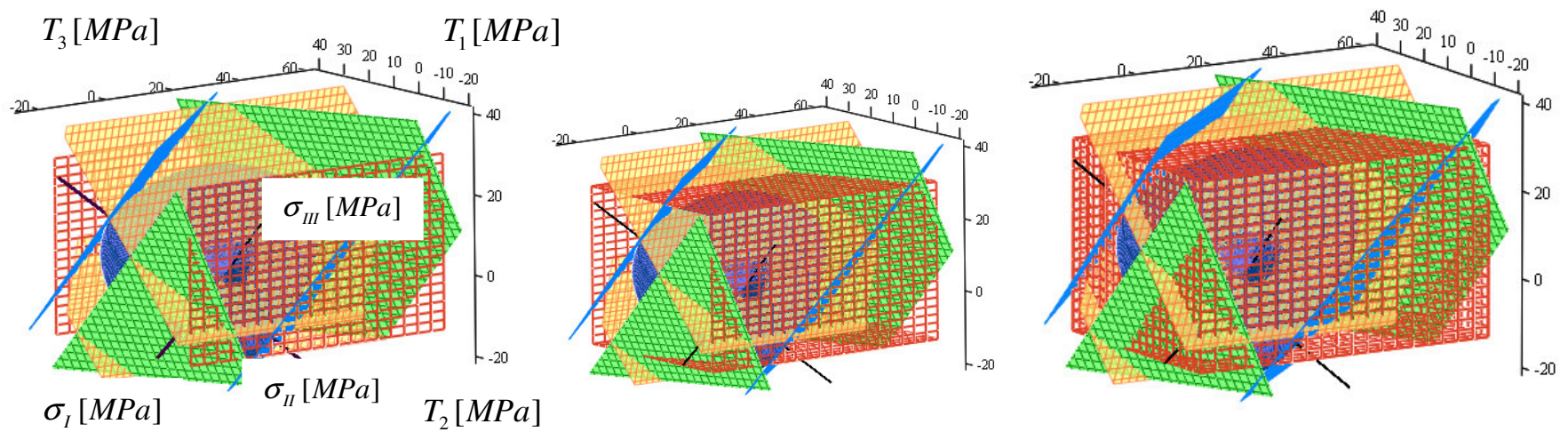


- Granicznych naprężeń głównych

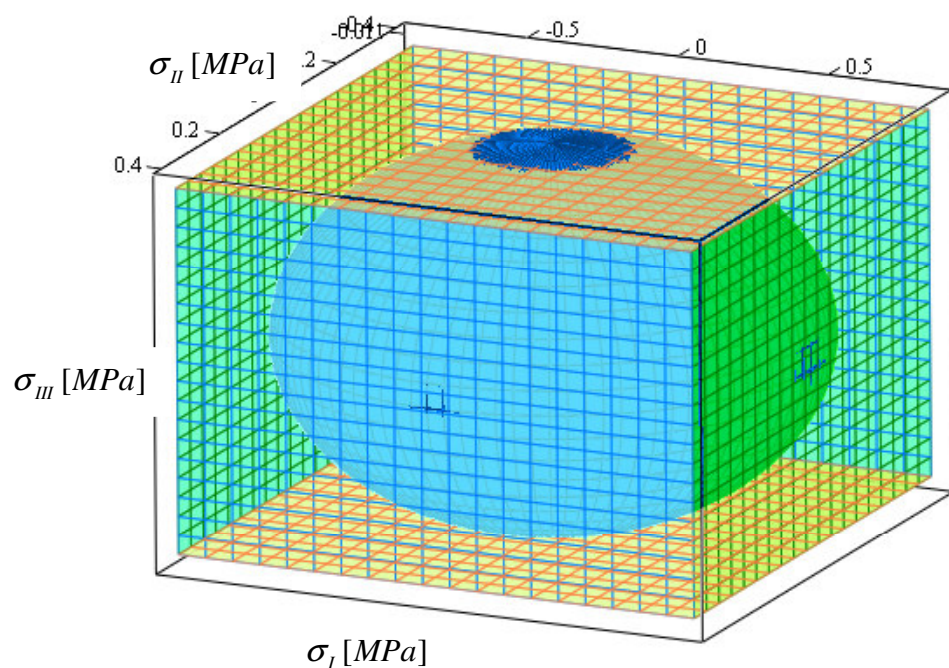
$T_{1r} = 36 \text{ MPa}$, $T_{1s} = 18 \text{ MPa}$, $T_{2r} = 30.5 \text{ MPa}$, $T_{2s} = 13 \text{ MPa}$, $T_{3r} = 56 \text{ MPa}$, $T_{3s} = 20 \text{ MPa}$



- Powierzchnia graniczna powstała w wyniku złożenia ww. kryteriów

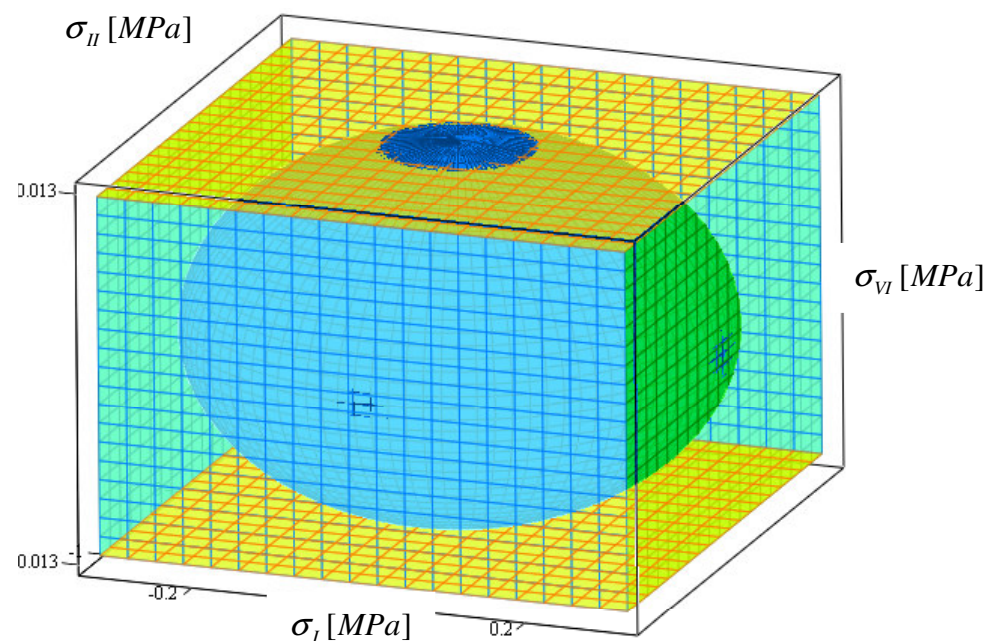


PORÓWNANIE POWIERZCHNI GRANICZNYCH W PRZESTRZENI STANÓW WŁASNYCH



Komórka sześcienna

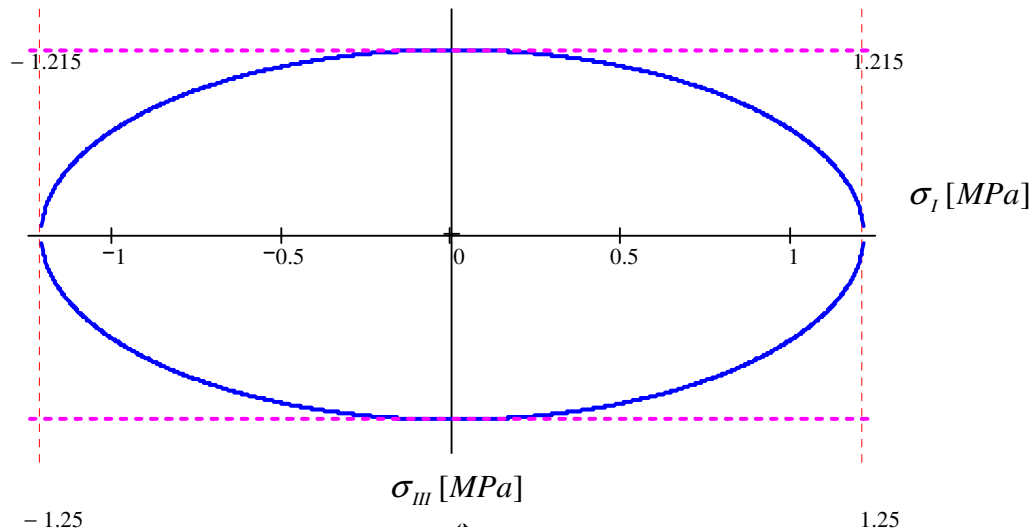
$$L = 2000 \mu m, \quad d = 150 \mu m$$



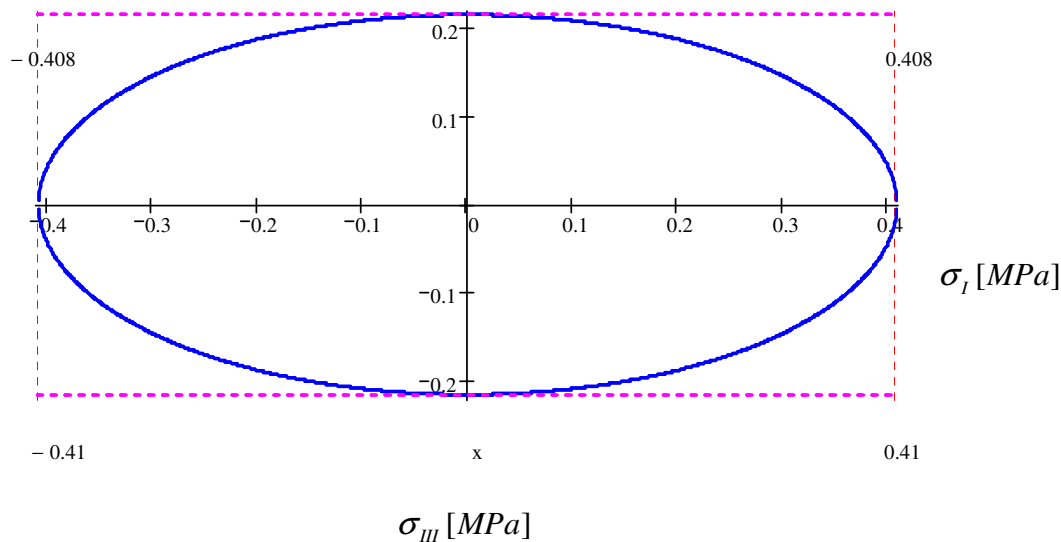
Komórka prostokątna

$$L_{1-2} = 1000 \mu m, \quad L_{3-4} = 4000 \mu m, \quad H = 1000 \mu m, \\ d = 120 \mu m$$

$$\text{stop Cu-1\%Ni, } E_s = 117 \text{ GPa, } G_s = 45 \text{ GPa, } R_e = 112 \text{ MPa}$$

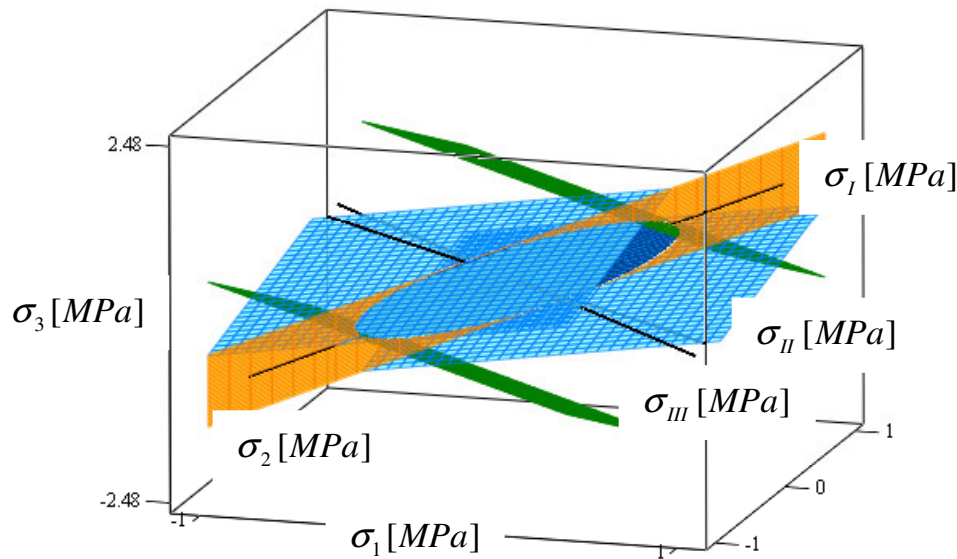


Komórka w postaci pryzmy o podstawie trójkąta równobocznego
 $L = 2000 \mu m$, $H = 2000 \mu m$
 $d = 260 \mu m$
 stop Cu-1%Ni,
 $E_s = 117 GPa$, $G_s = 45 GPa$,
 $R_e = 112 MPa$

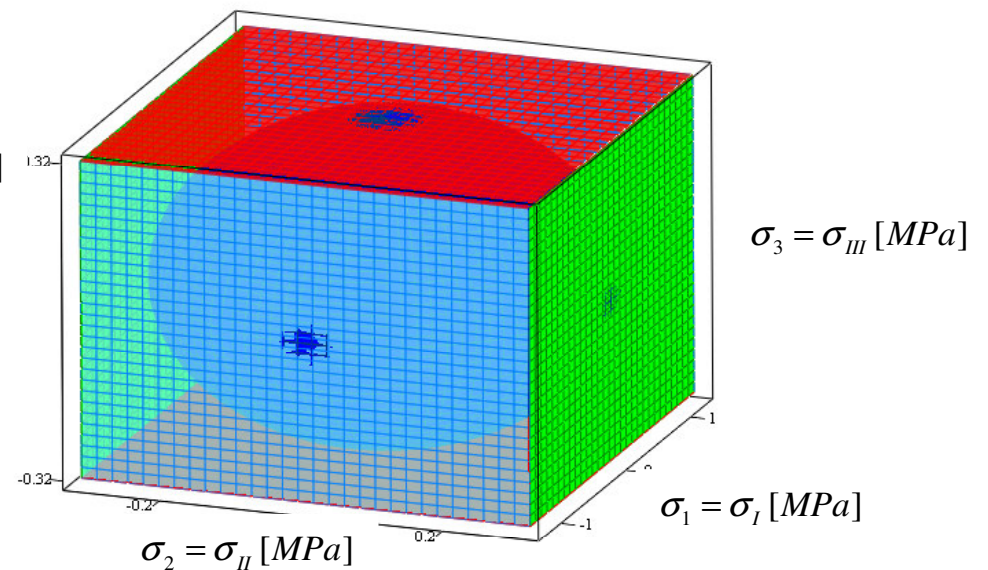


Komórka w postaci pryzmy o podstawie sześciokąta foremnego
 $L = 2000 \mu m$, $H = 2000 \mu m$
 $d = 87 \mu m$
 stop Cu-1%Ni,
 $E_s = 117 GPa$, $G_s = 45 GPa$,
 $R_e = 112 MPa$

PORÓWNANIE POWIERZCHNI GRANICZNYCH W PRZESTRZENI NAPRĘŻEŃ GŁÓWNYCH

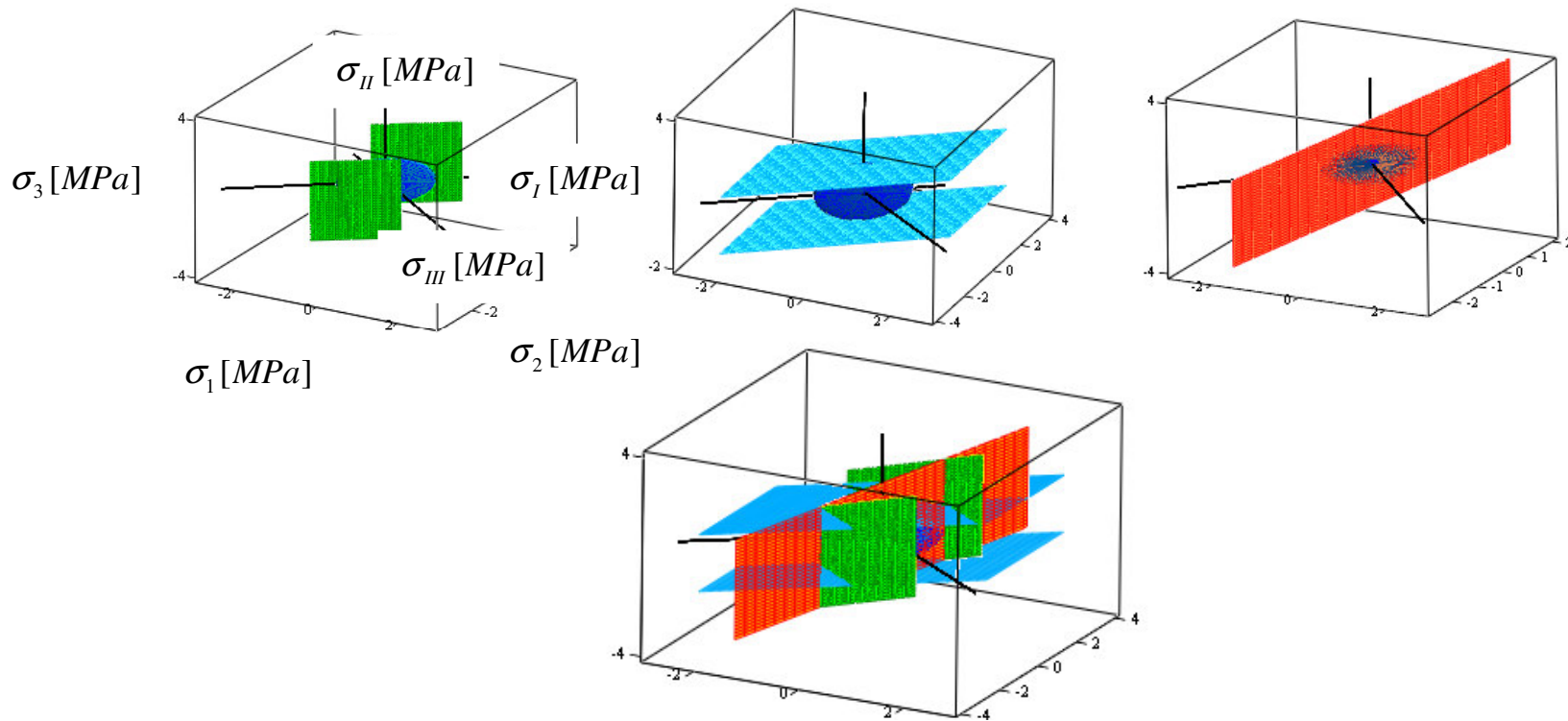


Komórka sześcienna
 $L = 2000 \mu m$, $d = 150 \mu m$



Komórka prostokątna
 $L_{1-2} = 1000 \mu m$, $L_{3-4} = 4000 \mu m$, $H = 1000 \mu m$,
 $d = 120 \mu m$

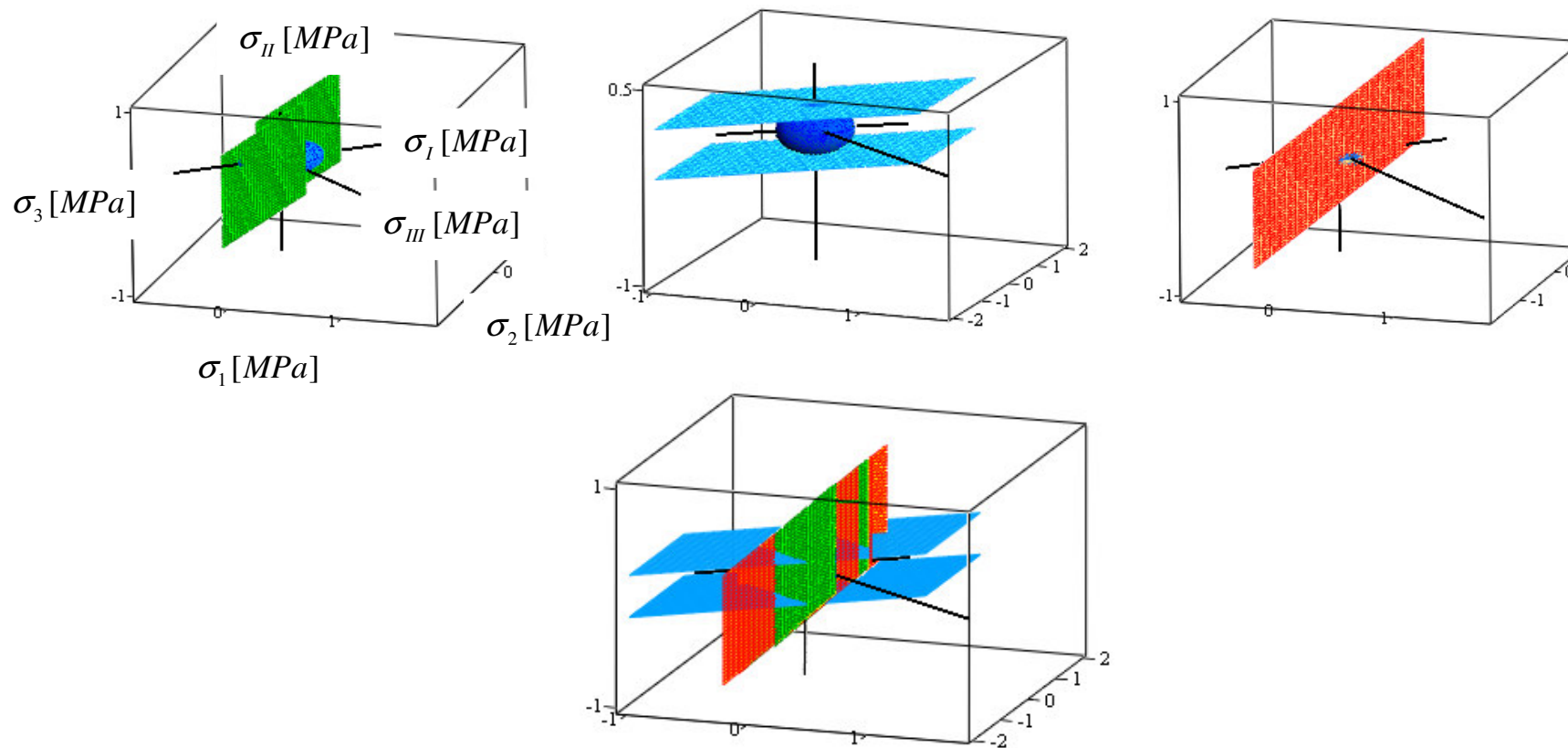
stop Cu-1%Ni, $E_s = 117 GPa$, $G_s = 45 GPa$, $R_e = 112 MPa$



Komórka w postaci pryzmy o podstawie trójkąta równobocznego

$$L = 2000 \mu m, \quad H = 2000 \mu m, \quad d = 260 \mu m$$

stop Cu-1%Ni, $E_s = 117 GPa$, $G_s = 45 GPa$, $R_e = 112 MPa$



Komórka w postaci pryzmy o podstawie sześciokąta foremnego

$$L = 2000 \mu\text{m}, \quad H = 2000 \mu\text{m}, \quad d = 87 \mu\text{m}$$

$$\text{stop Cu-1\%Ni}, \quad E_s = 117 \text{GPa}, \quad G_s = 45 \text{GPa}, \quad R_e = 112 \text{MPa}$$

NUMERYCZNA ANALIZA DEFORMACJI STRUKTUR KOMÓRKOWYCH

KOMÓRKA SZEŚCIENNA

Wartość naprężenia granicznego w płaszczyźnie podstawy (x,y) przedstawia zależność:

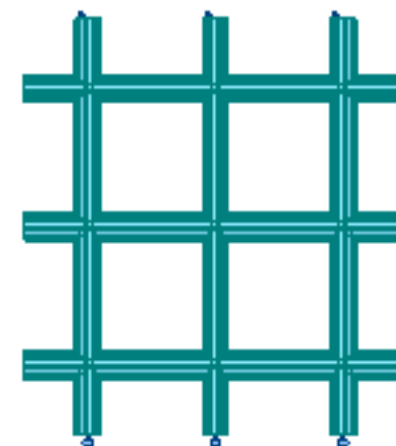
$$\sigma^{gr} = \pm \frac{3R_e \frac{I A}{L^2}}{\sqrt{10I^2 + 27I^2 \sin^4 \alpha + 3 \sin^2 \alpha h^2 L^2 A^2 - 3 \sin^4 \alpha h^2 L^2 A^2 - 27I^2 \sin^2 \alpha}}$$

gdzie α jest dowolnym kierunkiem obciążenia.

Przyjmując σ^{gr} i $\alpha = \frac{\pi}{2}$ (rozciągnięcie wzdłuż osi y) dla dowolnego materiału (wzór jest uniwersalny) w żadnym przecie struktury nie jest przekroczona granica plastyczności R_e elementu belkowego, dla stali $E = 205GPa$, $G = 80.8GPa$,

$$R_e = 215MPa, \quad \sigma^{z \text{ programu Robot}} = 201MPa$$

błąd; 6.9 %



KOMÓRKA PROSTOPADŁOŚCIENNA

Wartość naprężenia granicznego w płaszczyźnie podstawy (x,y) przedstawia zależność:

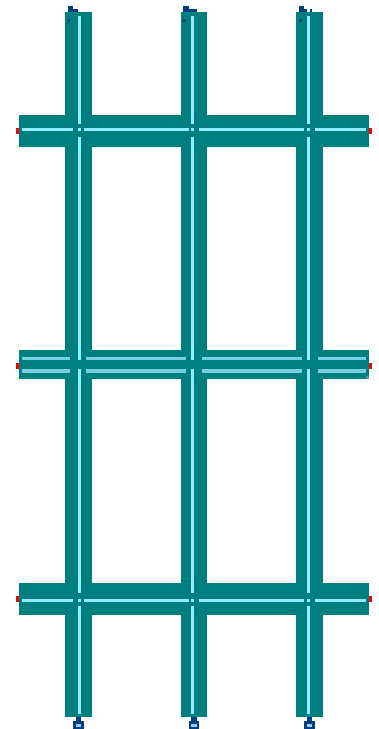
$$\sigma^{gr} = \pm [2(4L_{3-4}^2 I^2 - 8L_{3-4}^2 I^2 \sin^2 \alpha + 4L_{3-4}^2 I^2 \sin^4 \alpha + 4\sin^4 \alpha L_{1-2}^2 I^2 + \\ + \sin^2 \alpha h^2 L_{1-2}^2 L_{3-4}^2 A^2 - \sin^4 \alpha h^2 L_{1-2}^2 L_{3-4}^2 A^2)^{1/2} R_e I \frac{A}{R_e}] / [-4L_{3-4}^2 I^2 + \\ - 8L_{3-4}^2 I^2 \sin^2 \alpha - 4L_{3-4}^2 I^2 \sin^4 \alpha - 4\sin^4 \alpha L_{1-2}^2 I^2 - \sin^2 \alpha h^2 L_{1-2}^2 L_{3-4}^2 A^2 + \\ + \sin^4 \alpha h^2 L_{1-2}^2 L_{3-4}^2 A^2]$$

gdzie α jest dowolnym kierunkiem obciążenia.

Przyjmując σ^{gr} i $\alpha = \frac{\pi}{2}$ (rozciągnięcie wzdłuż osi y) dla dowolnego materiału (wzór jest uniwersalny) w żadnym przęcie struktury nie jest przekroczona granica plastyczności R_e elementu belkowego, dla stali $E = 205GPa$, $G = 80.8GPa$,

$$R_e = 215MPa, \quad \sigma^{z\ programu\ Robot} = 210.83MPa$$

błąd; 1.9%



KOMÓRKA W POSTACI PRYZMY O PODSTAWIE TRÓJKĄTA RÓWNOBOCZNEGO
Wartość naprężenia granicznego w płaszczyźnie podstawy (x,y) przedstawia zależność:

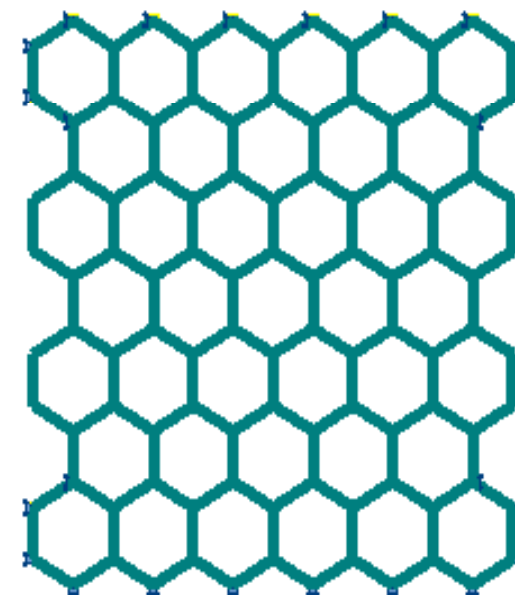
$$\sigma^{gr} = \pm [2((35067 I^2 - 72 L^2 h^2 A^2 \sqrt{3} + 981 L^2 h^2 A^2 + 576 L I h A \sqrt{3} + 7848 L I h A)(6457 - 384 \sqrt{3}))^{1/2} I A \frac{R_e}{L H}] / [35067 I^2 + 72 L^2 h^2 A^2 \sqrt{3} + 981 L^2 h^2 A^2 + 576 L I h A \sqrt{3} + 7848 L I h A]$$

Przyjmując σ^{gr} (rozciąganie wzdłuż osi x) dla dowolnego materiału (wzór jest uniwersalny) w żadnym przecie struktury nie jest przekroczona granica plastyczności R_e elementu belkowego,

dla stali $E = 205 GPa$, $G = 80.8 GPa$,

$$R_e = 215 MPa, \quad \sigma^{z \text{ programu Robot}} = 191.11 MPa$$

błąd; 12 %



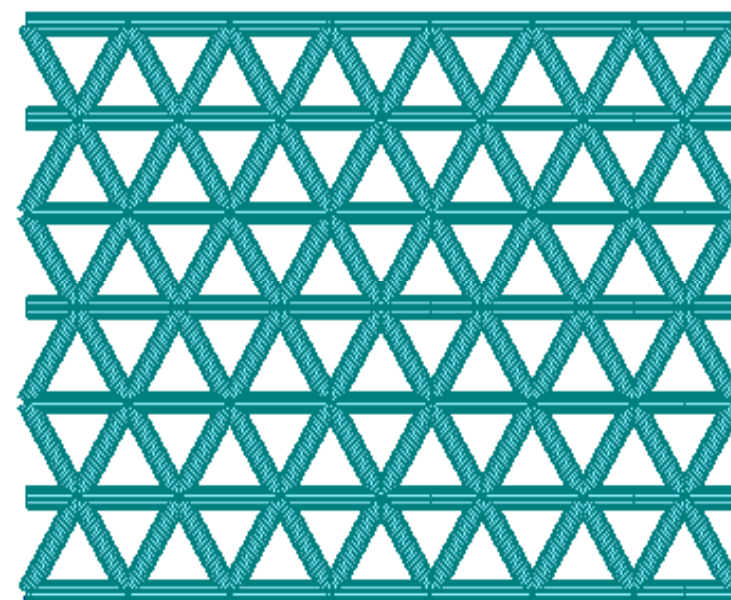
KOMÓRKA W POSTACI PRYZMY O PODSTAWIE SZEŚCIOKĄTA FOREMNEGO
 Wartość naprężenia granicznego w płaszczyźnie podstawy (x,y) przedstawia zależność:

$$\sigma^{gr} = \frac{2\sqrt{(\lambda_{III} \Phi_{III}^{gr} + \lambda_I \Phi_I^{gr}) \lambda_{III} \Phi_{III}^{gr} \lambda_I \Phi_I^{gr}}}{\lambda_{III} \Phi_{III}^{gr} + \lambda_I \Phi_I^{gr}}$$

Przyjmując σ^{gr} (rozciągnięcie wzdłuż osi y) dla dowolnego materiału (wzór jest uniwersalny) naprężenia w prętach struktury są w przybliżeniu równe granicy plastyczności R_e elementu belkowego, dla stali $E = 205GPa$, $G = 80.8GPa$,

$$R_e = 215MPa, \sigma^{z \text{ programu Robot}} = 230.90 MPa$$

błąd; **7.3 %**



PODSUMOWANIE

Wartość naprężenia granicznego w płaszczyźnie podstawy (x,y) komórki sześciiennej przedstawia zależność:

$$\sigma^{gr} = \pm \frac{3R_e \frac{IA}{L^2}}{\sqrt{10I^2 + 27I^2 \sin^4 \alpha + 3 \sin^2 \alpha h^2 L^2 A^2 - 3 \sin^4 \alpha h^2 L^2 A^2 - 27I^2 \sin^2 \alpha}}$$

Przyjmując σ^{gr} i $\alpha = \frac{\pi}{4}$ (rozciągnięcie po kątem 45° do osi x i y) dla dowolnego materiału elementu belkowego: stal $E = 205GPa$, $G = 80.8GPa$, $R_e = 215MPa$.

Wartość naprężenia w elementach belkowych uwzględniając:

- kryterium J. Rychlewskiego jest równa

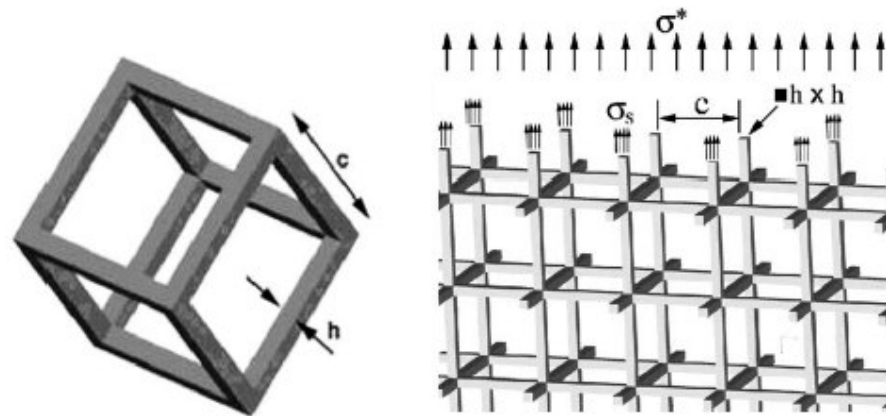
$$\sigma^{z \text{ programu Robot}} = 192.05 MPa$$

- kryterium dla rozłącznych stanów własnych jest równa

$$\sigma^{z \text{ programu Robot}} = 192.76 MPa$$

PORÓWNANIE OTRZYMANYCH REZULTATÓW Z DANymi PREZENTOWANYMI W LITERATURZE

komórka sześcienna: $c = L = 1.8 \cdot 10^{-3} \text{ m}$, $h = 0.409610^{-3} \text{ m}$



piana węglowa: $E_s = 2.6 \text{ GPa}$, $G_s = 1.04 \text{ GPa}$, $\sigma_s = R_e = 69.5 \text{ MPa}$, $\nu_s = 0.17$

rozwiązanie analityczne wg [Sukjoo Choi et al. 2005]:

$$E^* = 134.632 \text{ GPa}, \quad G^* = 3.486 \text{ GPa}, \quad \sigma_{gr}^* = 3.599 \text{ MPa} \quad (\uparrow 0.5\%)$$

wyniki doświadczalne wg [Sukjoo Choi et al. 2005]:

$$E^* = 124 \text{ GPa}, \quad \sigma_{gr}^* = 3.5805 \text{ MPa}$$

rozwiązanie analityczne wg obliczeń własnych:

$$E^* = 134.632 \text{ GPa}, \quad G^* = 2.919 \text{ GPa}, \quad \sigma_{gr}^* = 3.414 \text{ MPa} \quad (\downarrow 5\%)$$

LITERATURA

1. Rychlewski J.: Elastic energy decomposition and limit criteria, Uspekhi Mekh. - Advances in Mech., 1984, t. 7, s. 51÷80 (po rosyjsku).
2. Rychlewski J.: Unconventional approach to linear elasticity, Arch. Mech., 1995, t. 47, s. 149÷171.
3. Arramon Y. A., Mehrabadi M. M., Martin D. W., Cowin S. C.: A multidimensional anisotropic strength criterion based on Kelvin modes, International Journal of Solids and Structures, 2000, t. 37, s. 2915-2935.
4. Wang A. J., McDowell D. L.: Yield surfaces of various periodic metal honeycombs at intermediate relative density, International Journal of Plasticity, 2005, t. 21, s. 285-320.
5. Choi S., Sankar B. V.: A micromechanical method to predict the fracture toughness of cellular material, International Journal of Solids and Structures 42, 2005, 1797-1817.
6. Choi S., Sankar B. V.: Fracture toughness of carbon foam, Journal of Composite Materials, Vol 37, No. 23/2003.

KOMÓRKA PROSTOPADŁOŚCIENNA - ORTOTROPIA

OZNACZENIA

L_{1-2} , L_{3-4} , H - wymiary elementów belkowych (szkieletu)

S_{n1-2} , S_{n3-4} , S_{n5-6} - sztywności elementów belkowych na rozciąganie

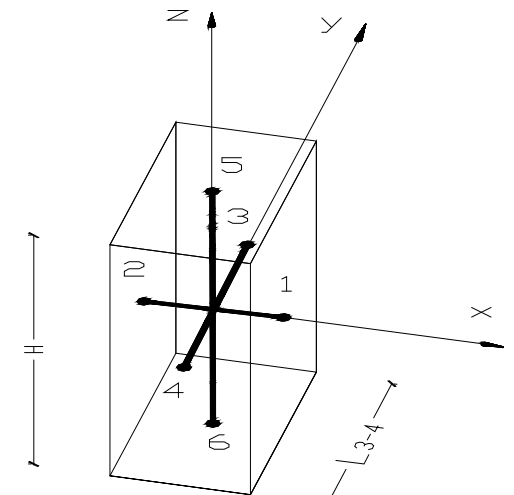
$S_{\tau 1-2}$, $S_{\tau 3-4}$, $S_{\tau 5-6}$ - sztywności elementów belkowych na zginanie

MODUŁY KELVINA

$$\lambda_I = \lambda_1 = \frac{L_{1-2} S_{n1-2}}{2 L_{3-4} H} \quad \lambda_{II} = \lambda_2 = \frac{L_{3-4} S_{n3-4}}{2 L_{1-2} H} \quad \lambda_{III} = \lambda_3 = \frac{H S_{n5-6}}{2 L_{1-2} L_{3-4}}$$

$$\lambda_{IV} = \lambda_4 = \frac{\frac{2 H^2 S_{\tau 5-6}}{L_{3-4}^2 S_{\tau 3-4} + H^2 S_{\tau 5-6}} \frac{L_{3-4} S_{\tau 3-4}}{2}}{L_{1-2} H}$$

$$\lambda_V = \lambda_5 = \frac{\frac{2 H^2 S_{\tau 5-6}}{L_{1-2}^2 S_{\tau 1-2} + H^2 S_{\tau 5-6}} \frac{L_{1-2} S_{\tau 1-2}}{2}}{L_{3-4} H} \quad \lambda_{VI} = \lambda_6 = \frac{\frac{2 L_{3-4}^2 S_{\tau 3-4}}{L_{3-4}^2 S_{\tau 3-4} + L_{1-2}^2 S_{\tau 1-2}} \frac{L_{1-2} S_{\tau 1-2}}{2}}{L_{3-4} H}$$



$$L_{1-2} \leq L_{3-4} \leq H$$

GĘSTOŚCI ENERGII GRANICZNYCH DLA STANÓW WŁASNYCH

$$\sigma_I = \sigma_1 = \begin{bmatrix} \frac{A R_e}{L_{3-4} H} & 0 & 0 \\ 0 & 0 & 0 \\ 0 & 0 & 0 \end{bmatrix}$$

$$2 \Phi_I^{gr} = \frac{1}{\lambda_I} \left(\frac{A R_e}{L_{3-4} H} \right)^2$$

$$\sigma_{II} = \sigma_2 = \begin{bmatrix} 0 & 0 & 0 \\ 0 & \frac{A R_e}{L_{1-2} H} & 0 \\ 0 & 0 & 0 \end{bmatrix}$$

$$2 \Phi_{II}^{gr} = \frac{1}{\lambda_{II}} \left(\frac{A R_e}{L_{1-2} H} \right)^2$$

$$\sigma_{III} = \sigma_3 = \begin{bmatrix} 0 & 0 & 0 \\ 0 & 0 & 0 \\ 0 & 0 & \frac{A R_e}{L_{1-2} L_{3-4}} \end{bmatrix}$$

$$2 \Phi_{III}^{gr} = \frac{1}{\lambda_{III}} \left(\frac{A R_e}{L_{1-2} L_{3-4}} \right)^2$$

$$\sigma_{IV} = \sigma_4 = \begin{bmatrix} 0 & 0 & 0 \\ 0 & 0 & \sqrt{2} \frac{\frac{I}{2} R_e \frac{2}{H}}{L_{1-2} L_{3-4}} \\ 0 & \sqrt{2} \frac{\frac{I}{2} R_e \frac{2}{H}}{L_{1-2} L_{3-4}} & 0 \end{bmatrix}$$

$$2 \Phi_{IV}^{gr} = \frac{I}{\lambda_{IV}} \delta \frac{I^2 R_e^2}{h^2 L_{1-2}^2 L_{3-4}^2 H^2}$$

$$\sigma_V = \sigma_5 = \begin{bmatrix} 0 & 0 & \sqrt{2} \frac{\frac{I}{2} R_e \frac{2}{H}}{L_{1-2} L_{3-4}} \\ 0 & 0 & 0 \\ \sqrt{2} \frac{\frac{I}{2} R_e \frac{2}{H}}{L_{1-2} L_{3-4}} & 0 & 0 \end{bmatrix}$$

$$2 \Phi_V^{gr} = \frac{I}{\lambda_V} \delta \frac{I^2 R_e^2}{h^2 L_{1-2}^2 L_{3-4}^2 H^2}$$

$$\sigma_{VI} = \sigma_6 = \begin{bmatrix} 0 & \sqrt{2} \frac{\frac{I}{2} R_e \frac{2}{L_{3-4}}}{L_{1-2} H} & 0 \\ \sqrt{2} \frac{\frac{I}{2} R_e \frac{2}{L_{3-4}}}{L_{1-2} H} & 0 & 0 \\ 0 & 0 & 0 \end{bmatrix}$$

$$2 \Phi_{VI}^{gr} = \frac{1}{\lambda_{VI}} \delta \frac{I^2 R_e^2}{h^2 L_{1-2}^2 L_{3-4}^2 H^2}$$

KOMÓRKA W POSTACI PRYZMY O PODSTAWIE TRÓJKĄTA RÓWNOBOCZNEGO – SYMETRIA TRANSWERSALNIE IZOTROPOWA

OZNACZENIA

L, H - wymiary elementów belkowych (szkieletu)

s_{nL}, s_{nH} - sztywności elementów belkowych na rozciąganie

$s_{\tau L}, s_{\tau H}$ - sztywności elementów belkowych na zginanie

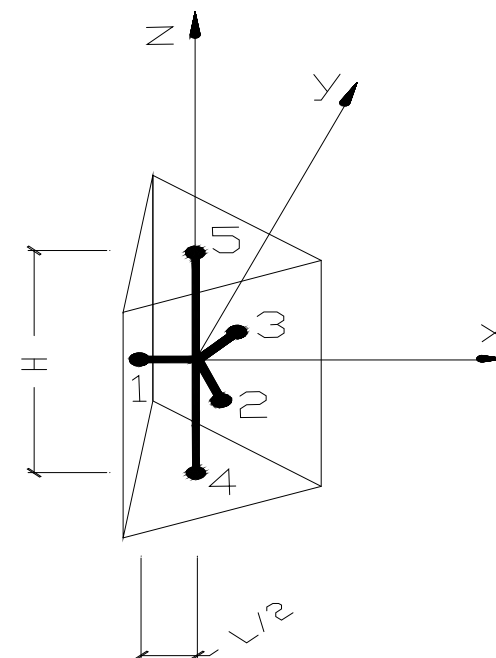
MODUŁY KELVINA

$$\lambda_I = \lambda_1 = \frac{\sqrt{3} s_{nL}}{6 H}$$

$$\lambda_{II} = \lambda_3 = \frac{2 \sqrt{3} H s_{nH}}{9 L^2}$$

$$\lambda_{III} = \lambda_2 = \lambda_6 = \frac{\sqrt{3} s_{nL} s_{\tau L}}{3 H (s_{nL} + s_{\tau L})}$$

$$\lambda_{IV} = \lambda_4 = \lambda_5 = \frac{4 \sqrt{3} H s_{\tau H} s_{\tau L}}{3 (3 L^2 s_{\tau L} + 4 H^2 s_{\tau H})}$$



$$L \leq H$$

GĘSTOŚCI ENERGII GRANICZNYCH DLA STANÓW WŁASNYCH

$$\sigma_I = \sigma_1 = \begin{bmatrix} \frac{-\sqrt{3} A R_e}{3 L H} & 0 & 0 \\ 0 & \frac{-\sqrt{3} A R_e}{3 L H} & 0 \\ 0 & 0 & 0 \end{bmatrix}$$

$$2 \Phi_I^{gr} = \frac{1}{\lambda_I} \frac{2}{3} \frac{A^2 R_e^2}{L^2 H^2}$$

$$\sigma_{II} = \sigma_2 = \begin{bmatrix} 0 & 0 & 0 \\ 0 & 0 & 0 \\ 0 & 0 & \frac{-4\sqrt{3} A R_e}{9 L^2} \end{bmatrix}$$

$$2 \Phi_{II}^{gr} = \frac{1}{\lambda_{II}} \frac{16}{27} \frac{A^2 R_e^2}{L^4}$$

$$\sigma_{III} = \sigma_{3,4} = \begin{bmatrix} \frac{I A R_e (4\sqrt{3}-1)}{L H (4I+L h A)} & \frac{2\sqrt{3} I A R_e}{3 L H (4I+L h A)} & 0 \\ \frac{2\sqrt{3} I A R_e}{3 L H (4I+L h A)} & -\frac{I A R_e (4\sqrt{3}-1)}{L H (4I+L h A)} & 0 \\ 0 & 0 & 0 \end{bmatrix}$$

$$2 \Phi_{III}^{gr} = \frac{1}{\lambda_{III}} \frac{2 I^2 A^2 R_e^2 (61 - 8\sqrt{3})}{9 H^2 L^2 (4I + L h A)^2}$$

$$\sigma_{IV} = \sigma_{5,6} = \begin{bmatrix} 0 & 0 & \frac{4\sqrt{3} I R_e}{9 L^2 h H} \\ 0 & 0 & \frac{4\sqrt{3} I R_e}{9 L^2 h H} \\ \frac{4\sqrt{3} I R_e}{9 L^2 h H} & \frac{4\sqrt{3} I R_e}{9 L^2 h H} & 0 \end{bmatrix}$$

$$2 \Phi_{IV}^{gr} = \frac{1}{\lambda_{IV}} \frac{64}{27} \frac{I^2 R_e^2}{H^2 L^4 h^2}$$

KOMÓRKA W POSTACI PRYZMY O PODSTAWIE SZEŚCIOKĄTA FOREMNEGO – SYMETRIA TRANSWERSALNIE IZOTROPOWA

OZNACZENIA

L, H - wymiary elementów belkowych (szkieletu)

s_{nL}, s_{nH} - sztywności elementów belkowych na rozciąganie

$s_{\tau L}, s_{\tau H}$ - sztywności elementów belkowych na zginanie

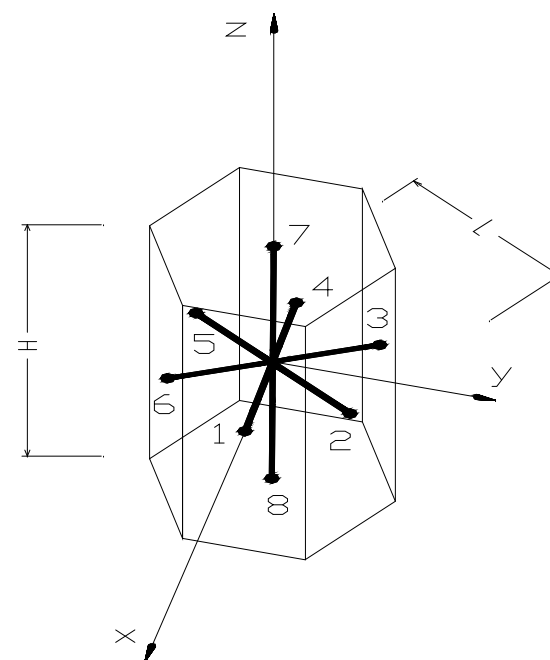
MODUŁY KELVINA

$$\lambda_{I} = \lambda_{1} = \frac{\sqrt{3} s_{nL}}{2 H}$$

$$\lambda_{II} = \lambda_{3} = \frac{\sqrt{3} H s_{nH}}{3 L^2}$$

$$\lambda_{III} = \lambda_{2} = \lambda_{6} = \frac{\sqrt{3} (s_{nL} + 2 s_{\tau L})}{4 H}$$

$$\lambda_{IV} = \lambda_{4} = \lambda_{5} = \frac{2 \sqrt{3} H s_{\tau H} s_{\tau L}}{3 L^2 s_{\tau L} + 2 H^2 s_{\tau H}}$$



GĘSTOŚCI ENERGII GRANICZNYCH DLA STANÓW WŁASNYCH

$$\sigma_I = \sigma_1 = \begin{bmatrix} \frac{-\sqrt{3} A R_e}{L H} & 0 & 0 \\ 0 & \frac{-\sqrt{3} A R_e}{L H} & 0 \\ 0 & 0 & 0 \end{bmatrix}$$

$$2 \Phi_I^{gr} = \frac{1}{\lambda_I} 6 \frac{A^2 R_e^2}{L^2 H^2}$$

$$\sigma_{II} = \sigma_2 = \begin{bmatrix} 0 & 0 & 0 \\ 0 & 0 & 0 \\ 0 & 0 & \frac{-2\sqrt{3} A R_e}{3 L H} \end{bmatrix}$$

$$2 \Phi_{II}^{gr} = \frac{1}{\lambda_{II}} \frac{4}{3} \frac{A^2 R_e^2}{H^2 L^2}$$

$$\sigma_{III} = \sigma_{3,4} = \begin{bmatrix} \frac{2 I A R_e \sqrt{3} (s_{nL} + 2 s_{\tau L})}{L H (4 I s_{nL} + L s_{\tau L} h A)} & \frac{I A R_e \sqrt{3} (s_{nL} + 2 s_{\tau L})}{L H (4 I s_{nL} + L s_{\tau L} h A)} & 0 \\ \frac{I A R_e \sqrt{3} (s_{nL} + 2 s_{\tau L})}{L H (4 I s_{nL} + L s_{\tau L} h A)} & -\frac{2 I A R_e \sqrt{3} (s_{nL} + 2 s_{\tau L})}{L H (4 I s_{nL} + L s_{\tau L} h A)} & 0 \\ 0 & 0 & 0 \end{bmatrix}$$

$$2 \Phi_{III}^{gr} = \frac{1}{\lambda_{III}} 30 \frac{(s_{nL} + 2 s_{\tau L})^2 R_e^2 A^2 I^2}{H^2 L^2 (4 s_{nL} I + L s_{\tau L} h A)^2}$$

$$\sigma_{IV} = \sigma_{5,6} = \begin{bmatrix} 0 & 0 & \frac{2\sqrt{3} I R_e}{3 L^2 h H} \\ 0 & 0 & \frac{2\sqrt{3} I R_e}{3 L^2 h H} \\ \frac{2\sqrt{3} I R_e}{3 L^2 h H} & \frac{2\sqrt{3} I R_e}{3 L^2 h H} & 0 \end{bmatrix}$$

$$2 \Phi_{IV}^{gr} = \frac{1}{\lambda_{IV}} \frac{16}{3} \frac{I^2 R_e^2}{H^2 L^4 h^2}$$